

# Interpreting and Understanding Graph Convolutional Neural Network using Gradient-based Attribution Methods

谢尚晟<sup>1</sup> 鲁鸣鸣<sup>1,†</sup>

1. 中南大学计算机学院, 长沙 410083;

† 通讯作者, E-mail: mingminglu@csu.edu.cn

## Abstract

In order to solve the problem that convolutional neural networks (CNN) are difficult to process non-image type relational data, Kipf et al. proposed a graph convolutional neural network (GCN). The core idea is to perform two-fold information fusion for each node in a given graph during each iteration: the fusion of graph structure information and the fusion of node feature dimensions. Although GCN has been widely used in the fields of scene semantic relationship analysis, natural language processing, and few-shot learning because of its ability to combine generalization, owing to its two-information fusion involves mathematical irreversible calculations, it is hard for GCN to explain that the predicting reason for each node classification (i.e. attribution analysis). However, the existing attribution analysis methods cannot be directly applied to the GCN because compared with the independence among CNN input data, there is correlation between GCN input data. This leads to the existing attribution method only to obtain the partial contribution of the final decision of the GCN from target node feature, the complete contribution and the contribution from neighbor nodes features cannot be obtained. To this end, we propose a gradient attribution analysis method for GCN, NAM (Node Attribution Method), can get the contribution of the target node and its neighbor nodes to the GCN output. We also propose the NIV (Node Importance Visualization) method to visualize the target node of the GCN and its neighbor nodes based on the value of the contribution value. We use the perturbation analysis method to verify the effect of NAM based on the citation network dataset. The experimental results show that NAM can well learn the contribution of each node to the node classification prediction.

## 1 Introduction

近年来, 以 CNN 为代表的深度学习模型在图像识别领域超过人类的识别准确度[1]。然而, 图数据不同于图像数据, 图像数据是连续的, 而图数据是离散的, 因此 CNN 领域的研究难以直接应用到以图为代表的关系型数据上。尽管已有一些工作将图数据强行转换成图像输入到 CNN 中[2], 但这种做法损失了数据之间的相关性, 无法较好地利用图结构进行推断。

为了解决上述问题, Kipf 等提出了图卷积神经网络模型(GCN)[3], 该模型在转导节点分类任务中达到了国际前沿的水平。GCN 中每层的卷积操作就其核心思想而言, 实质上是对给定图中的每个节点进行两次信息融合。举例来说, 考虑图 1(a)所示的由目标节点 $a$ 和其邻居节点 $\mathcal{N}_a = \{b, c, d\}$ 以及节点 $e$ 所构成的局部图结构, GCN 通过图拉普拉斯矩阵 $\mathcal{L}$ (反映了图的空间拓扑结构)中向量 $\mathcal{L}_a$ 对 $a$ 邻居节点的特征矩阵 $\mathcal{F}_a^{(0)}$ 沿 $a$ 各个特征维度分别进行了横向带权加和, 得到融合一跳邻居信息的特征向量 $\tilde{a}^{(0)}$ , 如图 1(b)所示。这一过程是利用 $\mathcal{L}$ 的信息对 $\mathcal{F}^{(0)}$ 进行了邻居节点特征的加权求和, 因此我们称之为图卷积的图结构信息融合。在此基础上, GCN 将融合后的特征 $\tilde{a}^{(0)}$ 作为输入, 通过一个各节点共享的全连接前馈神经网络对特征维度进行纵向融合, 目的是利用 $\mathcal{F}^{(0)}$ 的高度稀疏性来近似卷积操作, 实现特征特征维度的压缩, 得到被压缩后的特

征向量 $a^{(1)}$ ，如图 1(c)所示。这一过程利用稀疏全连接对特征维度进行压缩，因此我们称之为图卷积的特征维度融合。GCN 通过叠加 $K$ 个这样的卷积层就得到了深层次的 GCN 模型，一般来说 $K = 2$ 。

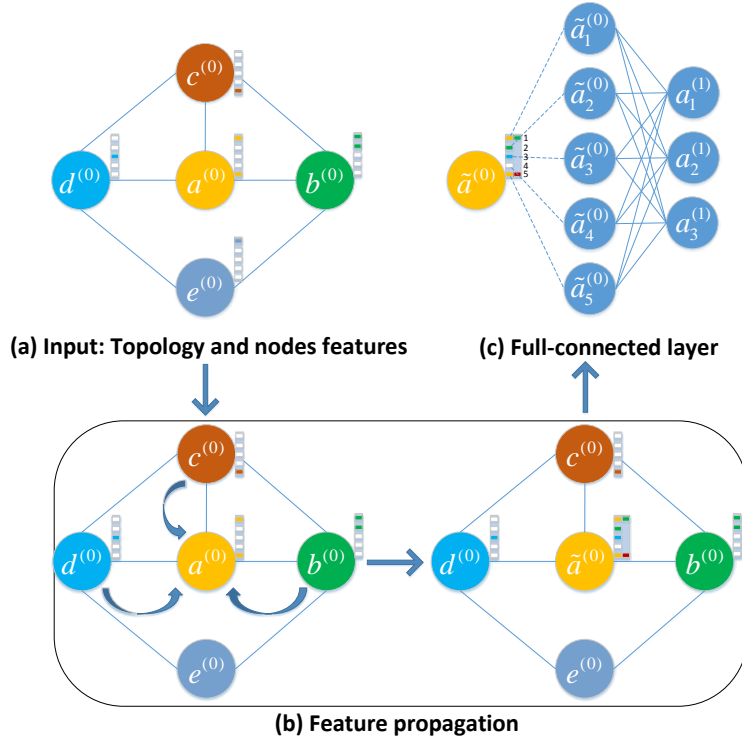


图 1 GCN 层的工作原理。图(a)表示 GCN 的输入，包含给定图的拓扑信息和节点特征信息，不同节点用不同字母和颜色来区分，每个节点 $\varphi_{a,k}$ 旁边的长条表示 5 维特征向量并用 $\varphi_{a,k}^{(0)}$ 标识， $\varphi_{a,k}^{(0)}$ 每个维度值若不为 0 则用与节点相同的颜色来标识该特征值的来源，否则为白色。

尽管 GCN 因其组合泛化的特点[4]，在场景语义关系分析[5]–[9]、自然语言处理[10], [11]、小样本学习[12]等领域得到了广泛引用，但和其他深度学习模型一样也存在难以解释的问题[13]。对于 GCN 所作出的预测，很难做归因分析，即推断预测结果是受哪些节点以及哪些特征的影响，而这在很多数据分析问题中是非常重要的，如金融领域的防欺诈信用预测系统，一个欺骗者利用模型的对抗样本欺骗了网络得到一个很高的信用分数，如果不能针对模型的决策依据进行分析和解释，在海量的交易数据中很难发现并分析欺骗者的攻击方式，从而让企业蒙受巨大的经济损失。对于 GCN 而言，归因分析的困难在于 GCN 在前向传播过程中分别实现了图结构和特征维度的信息融合，无论是前者所采用的各维度特征分别加权求和还是后者通过稀疏全连接对特征维度的压缩，都是显式不可逆过程，因此两种信息融合方式得到的输出均难以拆解成图 1(b)中特征向量 $\tilde{a}^{(0)}$ 所示的可看出信息来源的形式（注意 $\tilde{a}^{(0)}$ 用不同颜色表示的特征信息只是为了说明 GCN 的空间信息融合过程，并不表示其信息来源是可拆解的）。

截止到目前关于图网络可解释性分析的论文还相对较少，而在 DNN 和 CNN 领域已有很多网络可解释性方面的研究，如基于梯度的归因分析方法、基于扰动的归因分析方法和基于信息瓶颈的归因分析方法等，基于梯度的归因分析方法能够基于网络结构定量计算出指定输入的各个维度对决策的影响。如使用基于梯度的归因方法分析 CNN[14]，其核心思想是针对训练好的 CNN，通过输入一个数据 $I_a$ （例如一张图片），经过前馈神经网络到达输出层后，计算未经 softmax 激活的真实类别 $c$ 对应的输出 $O_c(I_a)$ 对输入 $I_a$ 的梯度值，得到 $I_a$ 各个维度对 $O_c(I_a)$ 的重要程度 $g_c(I_a)$ ， $g_c(I_a)$ 与 $I_a$ 逐像素相乘得到 $I_a$ 各维度对 $O_c(I_a)$ 的影响(贡献)大小 $C_c(I_a)$ 。将图片逐像素按照影响大小以热力图的方式可视化出来，以便直观对 CNN 的决策依据进行可视分析。

但这些归因分析方法运用于 GCN 是一个非平凡问题。首先，由于 CNN 的卷积发生在一个输入数据的内部，输入数据之间是相对独立的，因此可以使用梯度归因方法独立观察每个输入数据 $I_a$ 内部不同维度特征对真实类别输出 $O_c(I_a)$ 的贡献度大小 $C_c(I_a)$ ；而 GCN 的卷积涉及目标节点和它 $K$ 跳邻居节点的特征信息，需要考虑输入数据间的相关性，而现有的梯度归因方法只能得到目标节点特征 $a^{(0)}$ 对其真实类别输出

$O_c(a^{(0)})$ 的影响大小 $C_c(a^{(0)})$ ，却无法得到 $K$ 跳的各个邻居节点特征 $\varphi_{a,K}^{(0)}(\varphi \in \mathcal{N}_a)$ 对输出的影响大小 $C_c(\varphi_{a,K}^{(0)})$ 。

其次，图数据不同于图片数据，图片具有极强的局部语义信息，能够通过热力图遮罩直观看出高影响区域的语义信息，如真实类别是一只青蛙，热力图值较大的区域往往是在青蛙附近而不是背景区域。而图数据通过这种热力图的方法是无法观察到这种语义信息的。

我们希望将梯度归因分析方法应用到 GCN 上，为此，在梯度归因方面，为了能够得到 $\varphi_{a,K}^{(0)}$ 分别对 $O_c(a^{(0)})$ 的影响大小 $C_c(\varphi_{a,K}^{(0)})$ ，我们提出 NAM (Node Attribution Method)，通过穷举在决策 $a^{(0)}$ 类别时 GCN 内节点特征 $\varphi_{a,K}^{(0)}$ 在节点间的传播路径得到完整的梯度归因信息 $g_c(\varphi_{a,K}^{(0)})$ ，利用 $g_c(\varphi_{a,K}^{(0)})$ 与 $\mathcal{F}_{\varphi_{a,K}^{(0)}}^{(0)}$ 的乘积得到 $\varphi_{a,K}^{(0)}$ 对 $O_c(a^{(0)})$ 的贡献度大小 $C_c(\varphi_{a,K}^{(0)})$ ；在可视化方面，为了能够可视化 $\varphi_{a,K}^{(0)}$ 分别对 $O_c(a^{(0)})$ 的影响大小，我们提出 NIV (Node Importance Visualization)，将得到的 $C_c(\varphi_{a,K}^{(0)})$ 用大小来编码，用颜色编码分类信息，让分析师可以直观地对 GCN 的决策依据进行可视化分析。

我们工作的贡献在于：(1)我们第一个将现有的归因分析法进行拓展，用来解释 GCN，并得到目标节点及其邻居对真实类别输出的贡献度。(2)我们提出一种新的展示 GCN 决策依据的可视化手段，能够帮助分析师直观地看出目标节点及其邻居节点对决策的重要程度。(3)我们做了大量的试验来验证 NAM 的有效性。

## 2 Preliminaries

在这一部分，我们简要总结了 GCN 的发展历程并介绍了梯度归因法的基本原理，为第三节 NIV 的介绍做下理论铺垫。

### 2.1 图卷积神经网络

深度学习蓬勃发展，涌现出大量杰出的工作[15]。其中，卷积神经网络[16]使机器学习在图像领域的发展上升到新高度。相较于图像，图作为一种更加普遍的数据结构，可以用节点和边来编码更多的信息[17]，[18]。然而，图结构不同于图像有固定个数的局部像素点，图结构中每个节点没有相同的度，故无法像图像卷积一样使用固定大小的卷积核将数据的局部信息提取出来。为了将卷积操作运用到图数据上，把卷积神经网络从欧氏空间推广到非欧空间，文献[19]，[20]使用拉普拉斯矩阵作为卷积的连接依据，用稀疏连接的全连接层作为卷积的近似，在频域将拉普拉斯矩阵进行特征分解，把特征值作为神经网络参数进行训练。但上述方法存在以下缺点：(1)对大图来说拉普拉斯矩阵分解需要花费大量时间；(2)神经网络前向传播每层都要计算 $U\Lambda U^T$ ，计算复杂度为 $\mathcal{O}(n^2)$ ；(3)卷积核大小为图的总节点数 $n$ ，参数较多。[21]借鉴[22]用 $K$ 阶切比雪夫多项式对拉普拉斯矩阵进行近似，从而不需要对拉普拉斯矩阵进行特征分解，神经网络的前向传播不需要进行矩阵乘积运算从而将计算复杂度降到 $\mathcal{O}(n)$ ，且卷积核大小降为 $m(m \ll n)$ ， $m$ 是节点的 $K$ 阶邻近节点。[3]提出 GCN 模型，将图卷积应用到无向图半监督学习任务中，在准确率上得到了很大的提高。GCN 将 $K$ 限制为 1，通过堆积网络层建立 $K$ 阶邻居依赖，进一步提高了神经网络的前向传播效率，使其可以有效地解决大规模图问题。

图卷积层前向传播方式[3]如公式 1 所示。这里， $\tilde{A} = A + I_N$ 是邻接矩阵和单位阵的加和。 $\tilde{D}$ 是节点的度矩阵， $\tilde{D}^{-\frac{1}{2}}\tilde{A}\tilde{D}^{-\frac{1}{2}}$ 是近似的对称归一化的拉普拉斯矩阵 $\mathcal{L}$ ， $\mathcal{L}$ 的第 $i$ 行第 $j$ 列表示节点 $i$ 到节点 $j$ 的无向边权重 $e_{ij} = \frac{1}{\sqrt{\deg(i)\deg(j)}}$ 。 $H^{(l)}$ 是经过 $l$ 个 GCN 层处理过后的所有节点特征( $H^{(0)}$ 是原始输入数据)。 $W^{(l)}$ 是第 $l$ 个 GCN 层中的全连接权重， $b^{(l)}$ 是第 $l$ 个 GCN 层的全连接偏置值。

$$H^{(l)} = f_c \left( \tilde{D}^{-\frac{1}{2}}\tilde{A}\tilde{D}^{-\frac{1}{2}}H^{(l-1)}W^{(l)} + b^{(l)} \right) \quad (1)$$

### 2.2 基于梯度的归因方法 (Gradient-based Attribution Methods)

基于梯度的归因方法有两种，分别是基于扰动的方法(Perturbation-based methods)和基于反向传播(梯度)的方法(Backpropagation-based methods)[14]，这里我们主要讨论基于反向传播的方法。

为了便于理解基于反向传播的梯度归因方法，我们首先介绍前馈神经网络的结构。公式(2)和公式(3)是前馈神经网络中相邻两层间的运算关系。

$$z_j^{(l+1)} = \sum_{i \in \mathbb{I}_k^{(l)}} w_{ij}^{(l,l+1)} x_i^{(l)} + b_j^{(l+1)} \quad (2)$$

$$x_j^{(l+1)} = \sigma(z_j^{(l+1)}) \quad (3)$$

这里， $x_i^{(l)}$ 是第 $l$ 层( $l = 0, 1, \dots, L$ ( $L$ 是神经网络的总层数))第 $i$ 个神经元激活后的输出值( $x^{(0)}$ 指的是输入数据层)， $w_{ij}^{(l,l+1)}$ 是第 $l$ 层神经元 $i$ 连接到第 $l+1$ 层神经元 $j$ 的权重， $b_j^{(l+1)}$ 是第 $l+1$ 层第 $j$ 个神经元的偏置值， $\mathbb{I}_k^{(l)}$ 是 $l$ 层与 $l+1$ 层的神经元 $j$ 相连的神经元集合， $z_j^{(l+1)}$ 是神经网络第 $l+1$ 层第 $j$ 个神经元经过上一层相连神经元线性叠加后的输入值， $\sigma(\cdot)$ 为激活函数，常见的有 ReLU, Tanh 等。在全连接层中， $\mathbb{I}_k^{(l)}$ 代表 $l$ 层的全部节点；在卷积层中， $\mathbb{I}_k^{(l)}$ 代表卷积核大小的 $l$ 层部分节点。

基于反向传播的梯度归因方法是给定一个输入数据 $I_\alpha$ (例如图像)，经过前馈神经网络处理得到神经网络最后一层未激活输出 $S_l(x^{(0)})$ ，保存其前馈神经网络的激活路径，基于前馈神经网络相邻两层间的运算关系，即可得到相邻两层的偏导数值。根据路径反向传播求神经网络指定输出对输入各维度的偏导数，把各个维度的偏导数组成的向量称为输出对输入的梯度向量。

对神经网络中相邻两层之间后一层神经元对前一层神经元分别求偏导数，得到结果如公式(4)所示。

$$\frac{\partial x_j^{(l+1)}}{\partial x_i^{(l)}} = w_{ij}^{(l,l+1)} f'_c(z_j^{(l+1)}) \quad (4)$$

根据链式求导法则，可以得到任意层输出 $x_j^{(t)}$ 对任意层输入 $x_i^{(s)}$ 的偏导数，其中  $s < t$ ，如公式(5)所示。

$$\frac{\partial x_j^{(t)}}{\partial x_i^{(s)}} = \sum_{p \in \mathcal{P}_{st}} \left( \prod_{l \in \mathcal{L}_p} \frac{\partial x_p^{(l+1)}}{\partial x_p^{(l)}} \right) = \sum_{p \in \mathcal{P}_{st}} \left( \prod_{l \in \mathcal{L}_p} (w_p^{(l,l+1)} f'_c(z_p^{(l+1)})) \right) \quad (5)$$

其中， $\mathcal{P}_{st}$ 是从 $x_i^{(s)}$ 到 $x_j^{(t)}$ 的所有路径， $\mathcal{L}_p$ 是路径 $p$ 上的所有层，累加所有路径的偏导数值得到 $x_i^{(s)}$ 对 $x_j^{(t)}$ 的影响大小。因为公式(5)需要枚举所有的路径，计算复杂度较大，为了降低复杂度，我们采用输入 $(0, f(0))$ 处的一阶泰勒展开来近似[23]，如下所示：

$$X_j^{(L)} \approx \beta^T X^{(0)} + \alpha \quad (6)$$

基于公式(6)可以计算得到各维度输入对输出的重要程度  $\beta = \left. \frac{\partial X_j^{(L)}}{\partial X^{(0)}} \right|_{X=x_0}$ ，即得到输入特征的变化对输出

的影响大小，这种计算方式被称为局部归因方法[14]，我们在这里将其称为局部归因向量。

除局部归因向量外，还有全局归因向量，全局归因向量是由 $\beta^T \times X^{(0)}$ 得到的。不像局部归因方法一样是关注各维度输入特征的变化对输出的影响大小，全局归因方法是关注各维度输入特征对输出的影响大小，即相较于局部归因方法多考虑了输入的大小，这样可以用来反映不同维度输入对输出的真实效用，更加准确地得到输入特征对输出的贡献度。

此外，在进行梯度归因时，对于目标是分类的神经网络，最后一层为了关注选定的输出神经元得到的输出而防止由于 softmax 激活函数造成的其他神经元输出对结果的干扰，这里将最后一层的激活函数由

softmax 激活改为 linear 激活[23]。否则进行梯度归因时，会把非选定的输出神经元输出同样反向传播，造成输入梯度计算不准确，在进行归因分析时得到不准确的结果。

总的来说，现有的归因分析方法大部分都是对 attribution heatmaps 的清晰度进行改进，如 Saliency maps[23]，Gradient \* Input[24]，Integrated Gradients[25]，Layer-wise Relevance Propagation[26]，DeepLift[24]，Grad-CAM[27]等，这些方法可以被一个统一的框架概括[14]。第三章我们提供了一种思路，可以把现有的归因方法无缝地应用到 GCN 的分析中。

### 3 The Proposed Architecture

我们使用基于梯度的归因方法对 GCN 进行可解释性分析（详见 2.2 节）。由于基于扰动的归因方法其超参数遮挡块大小难以预先知道，加之节点特征维度较高且没有隐含的局部语义，因此基于扰动的归因方法不适用于 GCN 的归因分析，所以我们采用基于反向传播的归因方法对 GCN 进行分析。现有的基于反向传播的归因方法主要有 DeepLIFT、集成梯度、LRP 等，通过生成输入数据的归因热力图的方式，直观地展现出输入各维度对网络决策重要性。这些归因方法目前主要应用在 CNN 和 DNN 模型的归因分析当中。GCN 模型与前两种模型不同，由于输入数据之间的相关性，导致 GCN 的节点特征贡献度无法直接使用现有的归因方法进行准确的归因计算。另外，节点特征间没有隐含的局部上下文语义关系，致使可视化输入特征的贡献度对网络分析没有帮助。而针对图数据，可视化节点的贡献度能够帮助人们清晰地观察、分析网络的决策依据，并根据节点贡献度来判断网络决策的原因。因此，我们提出 NAM 来使用基于反向传播的归因方法对 GCN 的节点贡献度进行较为精确的计算。我们还提出 NIV 将 NAM 得到的节点贡献度进行可视化分析。

#### 3.1 The Problem of Using Gradient-based Attribution Methods on GCN

使用现有的基于梯度的归因方法来分析 GCN 模型的决策依据是不充分的。下面我们从 GCN 的模型结构入手，阐述现有的基于梯度的归因方法在应用到 GCN 模型时会遇到的问题。

用于归因分析的 GCN 模型前向传播的详细结构如图 2 所示，将  $a$  作为目标节点，可以观察到两个现有的归因方法无法解决的问题。

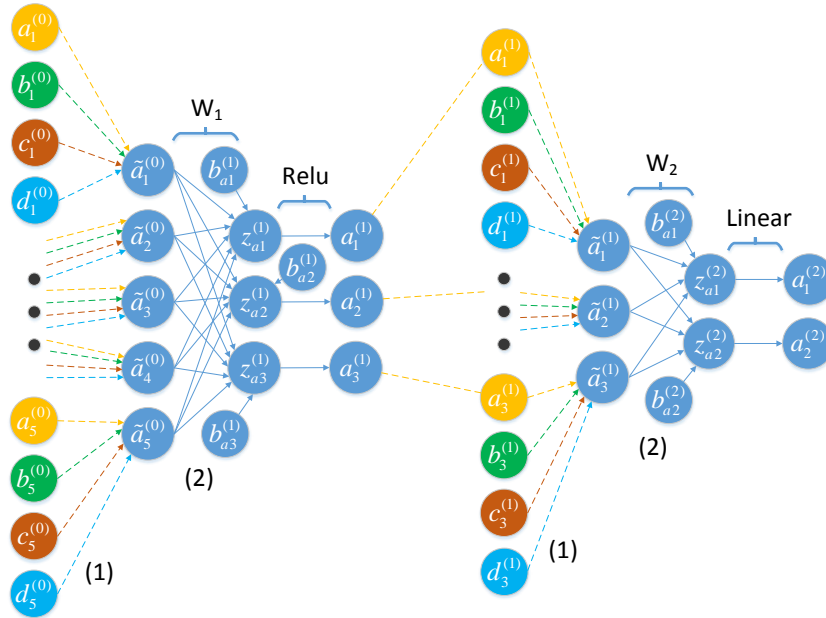


图 2 GCN 前向传播时的详细结构。 $\varphi_i^{(l)}$ 表示节点 $\varphi$ 作为目标节点经过第 $l$ 层 GCN 层处理后得到的第 $i$ 维的特征( $l = 0$ 时表示原始特征)，以节点 $a$ 的类别决策为例， $\tilde{a}_i^{(l)}$ 表示将节点 $a$ 的邻接节点第 $i$ 维特征加和后得到的 $a$ 的图结构信息融合后的第 $i$ 维特征， $a^{(l+1)}$ 表示 $\tilde{a}^{(l)}$ 经过第 $l$ 层层内的全连接层计算后得到的 $a$ 的各维度特征融合。图中(1)表示节点的局部图结构信息融合，(2)表示节点的特征信息融合。左侧：GCN 的第一层。输入是所有节点原始特征 $\varphi^{(0)}$ ，输出是经过第一层 GCN 加工得到的所有节点压缩特征 $\varphi^{(1)}$ 。图中展示的是以 $a$ 作为目标节点，经过 GCN 第一层加工后得到的压缩特征向量 $y_a^{(1)}$ ，将 $a$ 的特征维度由 5 压缩成 3；右侧：GCN 的第二层。输入是所有节点的压缩特征 $\varphi^{(1)}$ ，输出是经过第二层 GCN 处理得到的所有节点的类别预测 $\varphi^{(2)}$ ，图中展示的是以 $a$ 作为目标节点得到的 $a$ 的类别预测向量 $y_a^{(2)}$ ，为了避免 2.1 节中提到的干扰问题，这里将

softmax 激活函数改为了 linear 激活函数。

其一，图 2 中的(2)表示全连接层而(1)表示目标节点 $a$ 及其邻居节点 $\mathcal{N}_a$ 的空间信息融合过程（特征逐维度加权求和）。用 2.2 节的局部归因方法对图卷积层进行分析，得到 GCN 相邻两层间计算公式如公式(7)所示。公式(7)计算的是 $a_i^{(l-1)}$ 对 $a_j^{(l)}$ 的重要性敏感程度 $g_{a_i, a_j}^{(l-1, l)}$ ，与 DNN 相邻两层间的计算公式 3 相比，公式(7)仅仅多了一项 $a$ 的第 $i$ 维特征 $a_i$ 的自环边权重 $e_{a_i}$ ，该项的计算反映在图 2 中的(1)部分。然而，现有的归因方法只能对 $a$ 对应的 $a_i^{(l)}$ 进行层间梯度计算，而无法对 $\mathcal{N}_a$ 中节点特征 $\varphi_i^{(l)}$ 之间进行层间梯度计算。

现有的 GCN 实现方式为减小训练的时间及空间复杂度，将输入数据图作为整体喂入 GCN 中，该方式的复杂度为 $\mathcal{O}(|N| \times |d|)$ ，其中 $|N|$ 为节点个数， $|d|$ 为各个节点维度大小。然而这种架构在使用现有的归因方法进行归因分析时，由于邻接矩阵造成的稀疏连接发生在 batch 内跨多个数据条目汇聚，因此现有的归因计算只能得到目标节点对预测结果的一对一归因向量。

$$\frac{\partial a_j^{(l)}}{\partial a_i^{(l-1)}} = e_{a_i} w_{ij}^{(l)} f_c'(z_j^{(l)}) \quad (7)$$

其二，以图 2 黄色节点 $a_1^{(l)}$ 为例，图中描述的是信息传递链 $L_a = a_1^{(0)} \rightarrow \tilde{a}_1^{(0)} \rightarrow a^{(1)} \rightarrow \tilde{a}^{(1)} \rightarrow a_{\mathcal{T}}^{(2)}$ （信息传递链是指输入当前图片得到的所有激活路径中的一条或几条），其中 $\mathcal{T}$ 是我们感兴趣的输出维度，通常选择 ground truth 对应的特征维度。由于 $\tilde{a}_1^{(0)} \rightarrow a^{(1)}$ 是全连接层，所以激活路径的维度由一维变为 $|a^{(1)}|$ 维。 $L_a$ 描述了 $a$ 的原始输入特征 $a_1^{(0)}$ 对网络输出 $a_{\mathcal{T}}^{(2)}$ 的部分激活路径，即 $a_1^{(0)} \rightarrow a^{(1)} \rightarrow a_{\mathcal{T}}^{(2)}$ 。使用现有的局部梯度归因方法只能沿着 $L_a$ 计算 $a_{\mathcal{T}}^{(2)}$ 对 $a_1^{(0)}$ 的偏导数，将其作为 $a_1^{(0)}$ 对 $a_{\mathcal{T}}^{(2)}$ 的重要性敏感程度 $g_{a_1, a_{\mathcal{T}}}^{(0, 2)}$ ，这一计算过程如公式(8)所示。然而，从 $a_1^{(0)}$ 到 $a_{\mathcal{T}}^{(2)}$ 的信息传递链不仅这一条，还有 $a_1^{(0)} \rightarrow b^{(1)} \rightarrow a_{\mathcal{T}}^{(2)}$ 、 $a_1^{(0)} \rightarrow c^{(1)} \rightarrow a_{\mathcal{T}}^{(2)}$ 、 $a_1^{(0)} \rightarrow d^{(1)} \rightarrow a_{\mathcal{T}}^{(2)}$ 三条信息传递链，现有的梯度归因方法无法计算这三条信息传递链的偏导数值。只有找全了信息传递链起点与终点之间的所有激活路径，再利用局部梯度归因法计算原始输入各维度的偏导数值，才能得到相对准确的归因向量。因此，在计算 $a_1^{(0)}$ 对决策 $a_{\mathcal{T}}^{(2)}$ 的重要性敏感程度时，要考虑以上 4 条信息传递链的梯度之和。

$$\frac{\partial a_{\mathcal{T}}^{(2)}}{\partial a_i^{(0)}} = \sum_{p \in \mathcal{P}_{st}} \left( \prod_{l \in \mathcal{L}_p} \frac{\partial a_p^{(l)}}{\partial a_i^{(l-1)}} \right) = \sum_{p \in \mathcal{P}_{st}} \left( \prod_{l \in \mathcal{L}_p} \left( e_p w_p^{(l)} f_c'(z_p^{(l)}) \right) \right) \quad (8)$$

### 3.2 Node Attribution Method

为解决上述两点问题，我们提出 NAM (Node Attribution Method)，通过重新定义图卷积层空间信息融合的归因计算方式，来得到相对准确的节点特征对网络输出的重要性敏感程度。

要解决 3.1 节提到的第一个问题，我们使用节点粒度的全局归因法来计算 $a_i^{(1)}$ 、 $b_i^{(1)}$ 、 $c_i^{(1)}$ 、 $d_i^{(1)}$ 对 $\tilde{a}^{(1)}$ 的贡献度，其中下标 $i$ 表示节点的第 $i$ 维特征。以图 2 右侧最后一层图卷积层为例，由于图 2(2)部分是全连接层，所以能用现有的局部归因方法进行梯度计算。我们保留全连接部分的梯度计算规则，通过使用现有的梯度归因方法计算关注的该层输出 $a_{\mathcal{T}}^{(2)}$ 对空间融合向量 $\tilde{a}^{(1)}$ 的梯度值得到局部融合归因向量 $g_{\tilde{a}, a_{\mathcal{T}}}^{(1, 2)}$ ， $g_{\tilde{a}, a_{\mathcal{T}}}^{(1, 2)}$ 是 $\tilde{a}^{(1)}$ 对 $a_{\mathcal{T}}^{(2)}$ 的重要性敏感程度。而对于图 2(1)空间融合部分，我们通过分别将邻居节点 $\varphi^{(1)}$ 与 $g_{\tilde{a}, a_{\mathcal{T}}}^{(1, 2)}$ 做内积，得到 $\mathcal{N}_a$ 中各个节点在该层的输入对该层输出的贡献度，公式(9)用数学语言描述了这一计算过程。与现有的梯度归因方法不同的是，后者在进行全局归因时往往是将输入向量与归因向量逐维度相乘，得到输入向量的各个维度对模型输出的贡献度。而 NAM 是逐节点特征向量与归因向量及拉普拉斯边权重相乘，来得到各个节点对决策的影响大小，这保证了对邻居节点进行归因分析时邻居节点对决策贡献度计算的准确性。由于 NAM 是定义在层上的运算规则，进而保证了归因分析的灵活性，利于拓展到多层图卷积层的网络模型分析，同样图卷积层内叠加多个隐藏层也可以使用 NAM 进行归因分析。

$$C_{\varphi, a_T}^{(1,2)} = \sum \mathcal{L}_a \times g_{\bar{a}, a_T}^{(1,2)} \times \varphi^{(1)} \quad (9)$$

对于 3.1 节提到的第二个问题，我们根据节点与目标节点的跳数远近将所有节点分为四类。以节点原始特征为起点，感兴趣的网络输出  $a$  为终点，分情况讨论四类节点的信息传递链以得到起点和终点间相对全面的激活路径。这四类节点分别是目标节点  $a$ 、 $a$  的一阶邻居节点  $\varphi$ 、 $a$  的二阶邻居节点  $\varphi'$  以及除前三类外的其它节点  $\hat{\varphi}$ 。

若以目标节点  $a$  为信息传递链的起点，因为链的终点仍然是  $a$ ，对于 GCN 而言，两层图卷积层只能汇聚两跳邻居节点的信息，因此  $a$  的信息传递链有两种，分别是  $a^{(0)} \rightarrow a^{(1)} \rightarrow a_T^{(2)}$  和  $a^{(0)} \rightarrow \varphi^{(1)} \rightarrow a_T^{(2)}$ ，两种信息传递链的路径如图 3 所示。

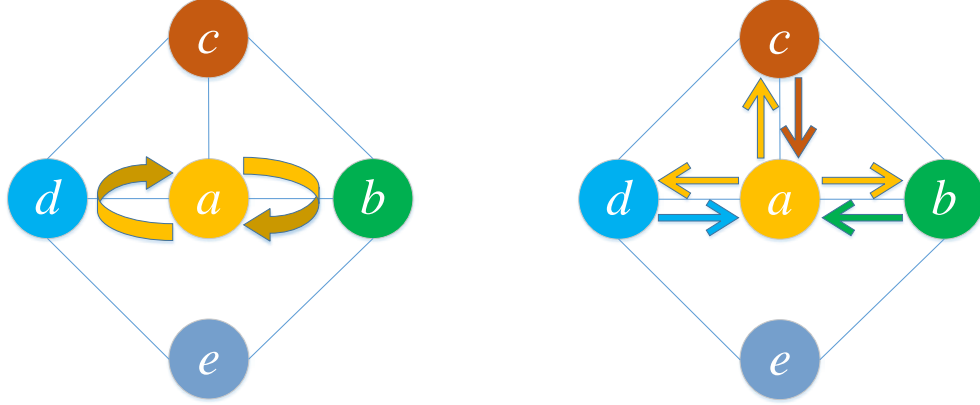


图 3:  $a^{(0)} \rightarrow a_T^{(2)}$  的两种信息传递链。左侧是信息传递链  $a^{(0)} \rightarrow a^{(1)} \rightarrow a_T^{(2)}$ ，右侧是信息传递链  $a^{(0)} \rightarrow \varphi^{(1)} \rightarrow a_T^{(2)}$ 。

若以  $a$  的一阶邻居节点  $\varphi$  为信息传递链的起点， $\varphi$  到  $a$  的信息传递链有三种，分别是  $\varphi^{(0)} \rightarrow \varphi^{(1)} \rightarrow a^{(2)}$ 、 $\varphi^{(0)} \rightarrow a^{(1)} \rightarrow a^{(2)}$  和  $\varphi^{(0)} \rightarrow \Phi_{a,\varphi}^{(1)} \rightarrow a^{(2)}$ ，其中同时是  $a$  和  $\varphi$  的邻居节点的节点集用  $\Phi_{a,\varphi}^{(1)}$  表示。三种信息传递链的路径如图 4 所示。

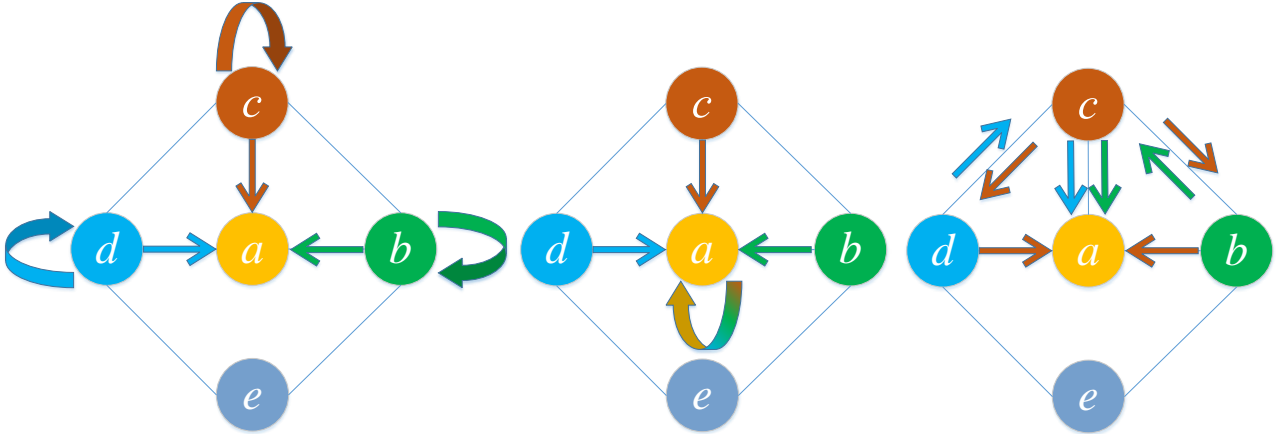


图 4:  $\varphi^{(0)} \rightarrow a_T^{(2)}$  的三种信息传递链。左侧是信息传递链  $\varphi^{(0)} \rightarrow \varphi^{(1)} \rightarrow a^{(2)}$ ，中间是信息传递链  $\varphi^{(0)} \rightarrow a^{(1)} \rightarrow a^{(2)}$ ，右侧是信息传递链  $\varphi^{(0)} \rightarrow \Phi_{a,\varphi}^{(1)} \rightarrow a^{(2)}$ 。

若以  $a$  的二阶邻居节点  $\varphi'$  为信息传递链的起点， $\varphi'$  到  $a$  的信息传递链只有一种  $\varphi'^{(0)} \rightarrow \Phi_{a,\varphi'}^{(1)} \rightarrow a^{(2)}$ ，其中节点集  $\Phi_{a,\varphi'}^{(1)}$  代表同时  $a$  和  $\varphi'$  的邻居节点的节点，其信息传递链的路径如图 5 所示。

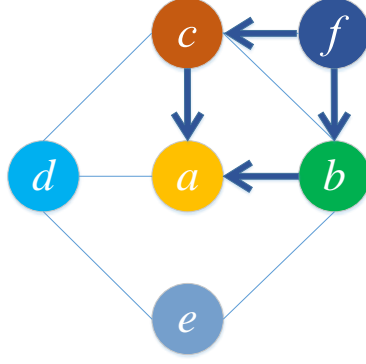


图 5: 信息传递链  $\varphi^{(0)} \rightarrow \Phi_{a,\varphi}^{(1)} \rightarrow a_{\mathcal{T}}^{(2)}$ 。

除前三类外的其它节点  $\varphi$  由于两跳内无法到达目标节点  $a$ ，因此以  $\varphi$  为起点没有信息传递链可以到达  $a$ 。

因此，我们通过对节点与目标节点的跳数关系定义四类节点，通过分类讨论这四类节点得到了相对全面的信息传递链，从而解决了 3.1 节提到的第二个问题。

综上所述，NAM 通过改变 GCN 层内的计算规则与找全层间的信息传递链，得到了相对准确的原始节点特征  $\varphi^{(0)}$  对目标节点  $a$  的模型决策贡献度  $C_{\varphi,a_{\mathcal{T}}}^{(0,2)}$ 。

### 3.3 Node Importance Visualization

在 CNN 中，现有的归因分析方法常常通过生成输入图像的归因热力图的方式来对输入各维度对输出的影响大小进行直观的解释。与 CNN 不同，由于 GCN 输入的节点各维度特征之间不像图像那样隐含有局部语义上下文的概念，生成的归因热力图对于分析师直观理解输入局部特征的效用没有太大的帮助，因此在 GCN 上使用梯度归因法不是为了努力生成更加清晰的热力图，而是为了能够生成更加准确反映真实节点贡献度的图结构图。为此，我们提出 NIV 方法来对 NAM 得到的邻居节点贡献度进行直观展示，从而帮助专家从节点的粒度分析 GCN 的决策依据。

通过 3.2 节提出的 NAM 方法，我们得到了每个节点对 GCN 决策的贡献度。为了得到目标节点  $a$  的邻居节点对决策的重要性占比，我们对 NAM 得到的  $C_{\varphi,a_{\mathcal{T}}}^{(0,2)}$  进行 softmax 归一化，计算方式如公式 10 所示，其中  $\mathcal{N}_a^2$  代表  $a$  的二阶邻居节点集合。值得注意的是，这里经过 softmax 后，原本的负归因值正负号被隐藏。因此，我们使用公式 11 把正负贡献的信息加入到我们的归因规则中。

$$S_{\varphi,a_{\mathcal{T}}}^{(0,2)} = \text{softmax}_{\varphi} \left( C_{\varphi,a_{\mathcal{T}}}^{(0,2)} \right) = \frac{e^{C_{\varphi,a_{\mathcal{T}}}^{(0,2)}}}{\sum_{n \in \mathcal{N}_a^2} e^{C_{n,a_{\mathcal{T}}}^{(0,2)}}} \quad (10)$$

$$S'_{\varphi,a_{\mathcal{T}}}^{(0,2)} = \text{sign} \left( S_{\varphi,a_{\mathcal{T}}}^{(0,2)} \right) \times S_{\varphi,a_{\mathcal{T}}}^{(0,2)} \quad (11)$$

## 4 Experiment

### 4.1 Evaluate the validity of NAM

为了验证 NAM 的有效性，我们在三个引文数据集上(详情如表 1 所示)进行了扰动实验验证。验证的方式是根据目标节点  $a$  的  $K = 2$  阶邻居节点  $\varphi_{a,K}^{(0)}$  个数  $|\mathcal{N}_a|$ ，按照百分比  $p$  递增的方式逐节点删除  $|D_a| = |\mathcal{N}_a| \times p$  个  $\varphi_{a,K}^{(0)}$ 。这里我们对比了根据 NAM 得到的贡献值由大到小删除  $|D_a|$  个  $\varphi_{a,K}^{(0)}$ ，和随机删除  $|D_a|$  个  $\varphi_{a,K}^{(0)}$  的正确率模型随  $p$  的递增而变化的曲线，在 cora 数据集上的实验结果如图 6 所示。

Table 1: Summary of the datasets used in our experiments.

	Cora	Citeseer	Pubmed
# Nodes	2708	3327	19717



# Features/Node	1433	3703	500
# Classes	7	6	3
# Edges	5429	4732	44338
# Training Nodes	140	120	60
# Validation Nodes	500	500	500
# Test Nodes	1000	1000	1000
# Label Rate	0.052	0.036	0.003

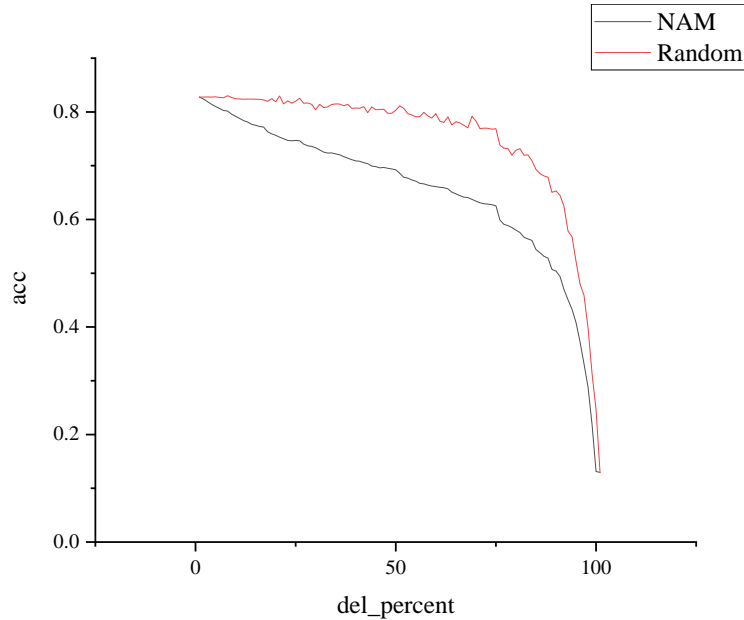


图 6 模型判别准确率随 $\varphi_{a,k}^{(0)}$ 删除百分比增多而变化的曲线

由图 6 可以看出，与随机删除邻居节点相比，NAM 正确率曲线整体下降的速度明显快于随机，也就是说同样在删除 $|D_a|$ 个邻居节点的情况下，NAM 比随机删除节点在对节点的攻击效果上更加显著，从而验证了 NAM 在分析 $\varphi_{a,k}^{(0)}$ 对 GCN 决策影响大小上的有效性。

## 4.2 NIV

就像 CNN 中使用归因图来直观的对归因结果进行可视化分析那样，我们将待分析节点的 $K = 2$ 阶邻居根据贡献度大小可视化出来，节点大小编码了归因值大小，颜色代表预测类别。图 7 是 GCN 对 cora 数据集 1358 节点进行决策的一阶邻居可视化分析图，图 8 是 GCN 对 citeseer 数据集 1422 节点进行决策的一阶邻居可视化分析图，图 9 是 GCN 对 pubmed 数据集 11450 节点进行决策的一阶邻居可视化分析图。一个节点越大代表该节点对待分析节点的决策越重要。可以看到，图 7 中影响最大的是 919 节点，图 8 中影响最大的是 2064 节点，图 9 中影响最大的是 14751 节点，。

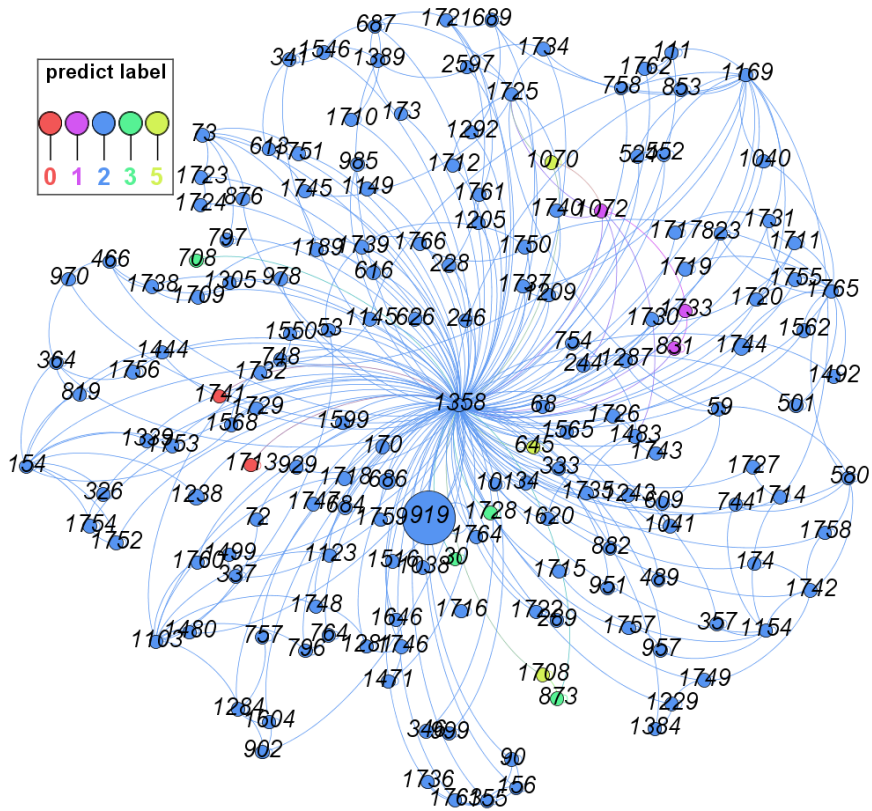


图 7 cora 数据集的 1358 号节点的一阶邻居贡献度可视化图

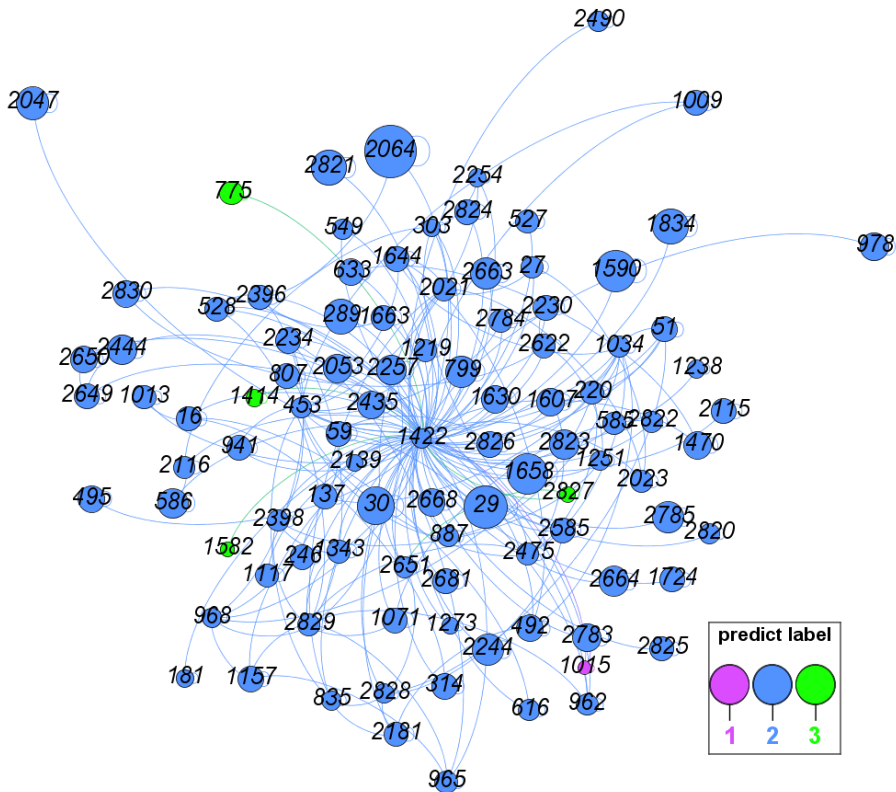


图 8 citesser 数据集的 1422 号节点的一阶邻居贡献度可视化图

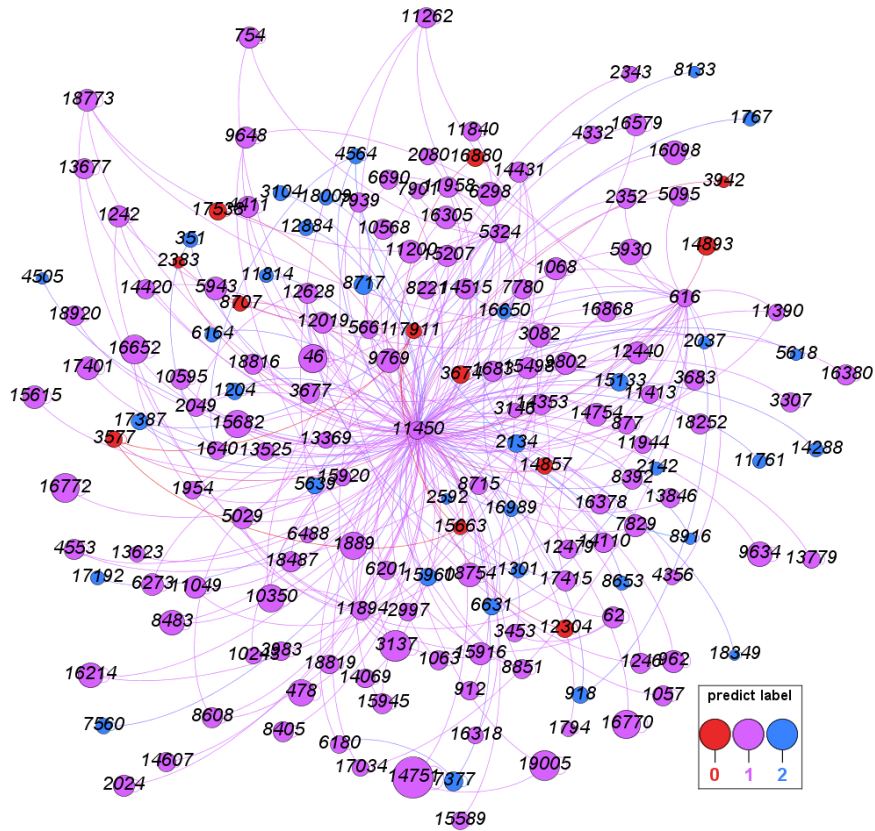


图 9 pubmed 数据集的 11450 号节点的一阶邻居贡献度可视化图

## 5 Conclusions

在本文中，我们提出一种将梯度归因方法无缝拓展到图网络归因分析的解决方案，其中 NAM 用来得到较为全面准确的节点贡献度，NIV 用来可视化节点贡献度信息以便直观观察节点对决策的重要性大小。最后我们用扰动的方式验证了 NAM 方法的有效性。我们未来的工作包括将更多的梯度归因分析方法应用到图网络的归因分析当中。

## 参考文献

- [1] K. He, X. Zhang, S. Ren, and J. Sun, “Delving deep into rectifiers: Surpassing human-level performance on imagenet classification,” in *Proceedings of the IEEE international conference on computer vision*, 2015, pp. 1026–1034.
- [2] M. Niepert, M. Ahmed, and K. Kutzkov, “Learning convolutional neural networks for graphs,” in *International conference on machine learning*, 2016, pp. 2014–2023.
- [3] T. N. Kipf and M. Welling, “Semi-Supervised Classification with Graph Convolutional Networks,” *arXiv:1609.02907 [cs, stat]*, Sep. 2016.
- [4] P. W. Battaglia *et al.*, “Relational inductive biases, deep learning, and graph networks,” *arXiv preprint arXiv:1806.01261*, 2018.
- [5] A. Santoro *et al.*, “A simple neural network module for relational reasoning,” in *Advances in neural information processing systems*, 2017, pp. 4967–4976.
- [6] D. Raposo, A. Santoro, D. Barrett, R. Pascanu, T. Lillicrap, and P. Battaglia, “Discovering objects and their relations from entangled scene representations,” *arXiv preprint arXiv:1702.05068*, 2017.
- [7] S. van Steenkiste, M. Chang, K. Greff, and J. Schmidhuber, “Relational neural expectation maximization: Unsupervised discovery of objects and their interactions,” *arXiv preprint arXiv:1802.10353*, 2018.
- [8] K. Greff, S. van Steenkiste, and J. Schmidhuber, “Neural expectation maximization,” in *Advances in Neural Information Processing Systems*, 2017, pp. 6691–6701.
- [9] K. Greff, A. Rasmus, M. Berglund, T. Hao, H. Valpola, and J. Schmidhuber, “Tagger: Deep unsupervised perceptual grouping,” in *Advances in Neural Information Processing Systems*, 2016, pp. 4484–4492.
- [10] A. Cetoli, S. Bragaglia, A. D. O’Harney, and M. Sloan, “Graph Convolutional Networks for Named Entity Recognition,” *arXiv preprint arXiv:1709.10053*, 2017.
- [11] D. Marcheggiani and I. Titov, “Encoding sentences with graph convolutional networks for semantic role labeling,” *arXiv preprint arXiv:1703.04826*, 2017.
- [12] V. Garcia and J. Bruna, “Few-shot learning with graph neural networks,” *arXiv preprint arXiv:1711.04043*, 2017.
- [13] J. Sjöberg *et al.*, “Nonlinear black-box modeling in system identification: a unified overview,” *Automatica*, vol. 31, no. 12, pp. 1691–1724, 1995.
- [14] M. Ancona, E. Ceolini, C. Oztireli, and M. Gross, “Towards better understanding of gradient-based attribution methods for Deep Neural Networks,” presented at the 6th International Conference on Learning Representations (ICLR 2018), 2018.
- [15] I. Goodfellow, Y. Bengio, A. Courville, and Y. Bengio, *Deep learning*, vol. 1. MIT press Cambridge, 2016.
- [16] A. Krizhevsky, I. Sutskever, and G. E. Hinton, “Imagenet classification with deep convolutional neural networks,” in *Advances in neural information processing systems*, 2012, pp. 1097–1105.
- [17] G. P. Goodwin and P. N. Johnson-Laird, “Reasoning about relations.,” *Psychological review*, vol. 112, no. 2, p. 468, 2005.
- [18] C. Kemp and J. B. Tenenbaum, “The discovery of structural form,” *Proceedings of the National Academy of Sciences*, 2008.
- [19] M. M. Bronstein, J. Bruna, Y. LeCun, A. Szlam, and P. Vandergheynst, “Geometric deep learning: going beyond euclidean data,” *IEEE Signal Processing Magazine*, vol. 34, no. 4, pp. 18–42, 2017.
- [20] J. Bruna, W. Zaremba, A. Szlam, and Y. LeCun, “Spectral Networks and Locally Connected Networks on Graphs,” *arXiv:1312.6203 [cs]*, Dec. 2013.
- [21] M. Defferrard, X. Bresson, and P. Vandergheynst, “Convolutional neural networks on graphs with fast localized spectral filtering,” in *Advances in Neural Information Processing Systems*, 2016, pp. 3844–3852.
- [22] D. K. Hammond, P. Vandergheynst, and R. Gribonval, “Wavelets on graphs via spectral graph theory,” *Applied*

*and Computational Harmonic Analysis*, vol. 30, no. 2, pp. 129–150, 2011.

- [23] K. Simonyan, A. Vedaldi, and A. Zisserman, “Deep inside convolutional networks: Visualising image classification models and saliency maps,” *arXiv preprint arXiv:1312.6034*, 2013.
- [24] A. Shrikumar, P. Greenside, and A. Kundaje, “Learning important features through propagating activation differences,” *arXiv preprint arXiv:1704.02685*, 2017.
- [25] M. Sundararajan, A. Taly, and Q. Yan, “Axiomatic Attribution for Deep Networks,” in *International Conference on Machine Learning*, 2017, pp. 3319–3328.
- [26] S. Bach, A. Binder, G. Montavon, F. Klauschen, K.-R. Müller, and W. Samek, “On pixel-wise explanations for non-linear classifier decisions by layer-wise relevance propagation,” *PloS one*, vol. 10, no. 7, p. e0130140, 2015.
- [27] R. R. Selvaraju, M. Cogswell, A. Das, R. Vedantam, D. Parikh, and D. Batra, “Grad-CAM: Visual Explanations from Deep Networks via Gradient-Based Localization.,” in *ICCV*, 2017, pp. 618–626.